



## Raport

z badań poziomego natężenia pola elektrycznego  
w otoczeniu stacji bazowej:

### BT41088

na podstawie sprawozdania 01/10/OŚ/2022 udostępnionego przez Duarte Sp. z o.o.

---

#### Laboratorium prowadzące badania

Duarte Sp. z o.o.  
ul. Kwiatowa 10  
80-180 Kowale  
503 749 199

#### Zleceniodawca badań

Towerlink Poland Sp. z o.o.  
  
02-673 Warszawa  
22 426 10 00  
kontakt@plus.pl

Nr akredytacji: AB 1691

Data wydania sprawozdania: 10.10.2022

Raport zawiera wybrane elementy sprawozdania i służy wyłącznie obrazowemu przedstawieniu informacji o danej instalacji. Raport nie może być wykorzystywany w postępowaniach administracyjnych.

## Informacje ogólne

Zgodność z metodyką RMK: Tak

Ograniczenia: Na podstawie art. 122a ust. 1b ustawy Prawo ochrony środowiska (t.j. Dz.U. z 2020 r., poz. 1219, 1378, 1565, 2127, 2338, z 2021 r. poz. 802, 868, 1047, 1162, 1535.), pomiary PEM w lokalach mieszkalnych i użytkowych zlokalizowanych w obszarze pomiarowym badanej stacji bazowej nie zostały przeprowadzone.

Wykorzystanie w obszarze regulowanym: Tak

## Przedmiot badań

<b>Identyfikator stacji w UKE</b>	<b>BT41088</b>
Operator	Polkomtel Sp. z o.o.
Współrzędne	18,6977330; 53,4134030
Rodzaj pracy	ciągła
Rodzaj wytwarzanego pola	stacjonarne

## Miejsce badań

Otoczenie stacji bazowej BT41088 w lokalizacji Mały Rudnik.

## Cel badań

1. Zweryfikowanie zgodności z wymaganiami rozporządzenia Ministra Zdrowia z dnia 19 grudnia 2019 r.

## Opis stacji bazowych

Tabela 1: Opis anten badanych stacji bazowych

Lp.	Identyfikator stacji w UKE	Typ Producent anteny	Azymut	H	EIRP	Pasma	Tilt	Tilt w trakcie pomiarów
			[°]	[m]	[W]	[MHz]	[°]	[°]
1	BT41088	ATR4521R0V06 Huawei	70	32,50	17178*	900 1800 2600	0,0 - 5,0 1,0 - 5,0 1,0 - 5,0	3,0 3,0 3,0
2		ATR4521R0V06 Huawei	200	32,50	17178*	900 1800 2600	0,0 - 5,5 1,0 - 5,5 1,0 - 5,5	3,3 3,3 3,3
3		ATR4521R0V06 Huawei	320	32,50	17178*	900 1800 2600	0,0 - 6,0 1,0 - 6,0 1,0 - 6,0	3,5 3,5 3,5
4		ADU4521R04V06 Huawei	70	35,40	16739*	2600	1,0 - 5,5	3,0
5		ADU4521R04V06 Huawei	200	35,40	16739*	2600	1,0 - 6,0	3,3
6		ADU4521R04V06 Huawei	320	35,40	16739*	2600	1,0 - 6,5	3,5

\* moc EIRP łączna dla wszystkich częstotliwości anteny

## Warunki pomiarów

Pomiary w wyznaczonych punktach wykonano w następujących warunkach:

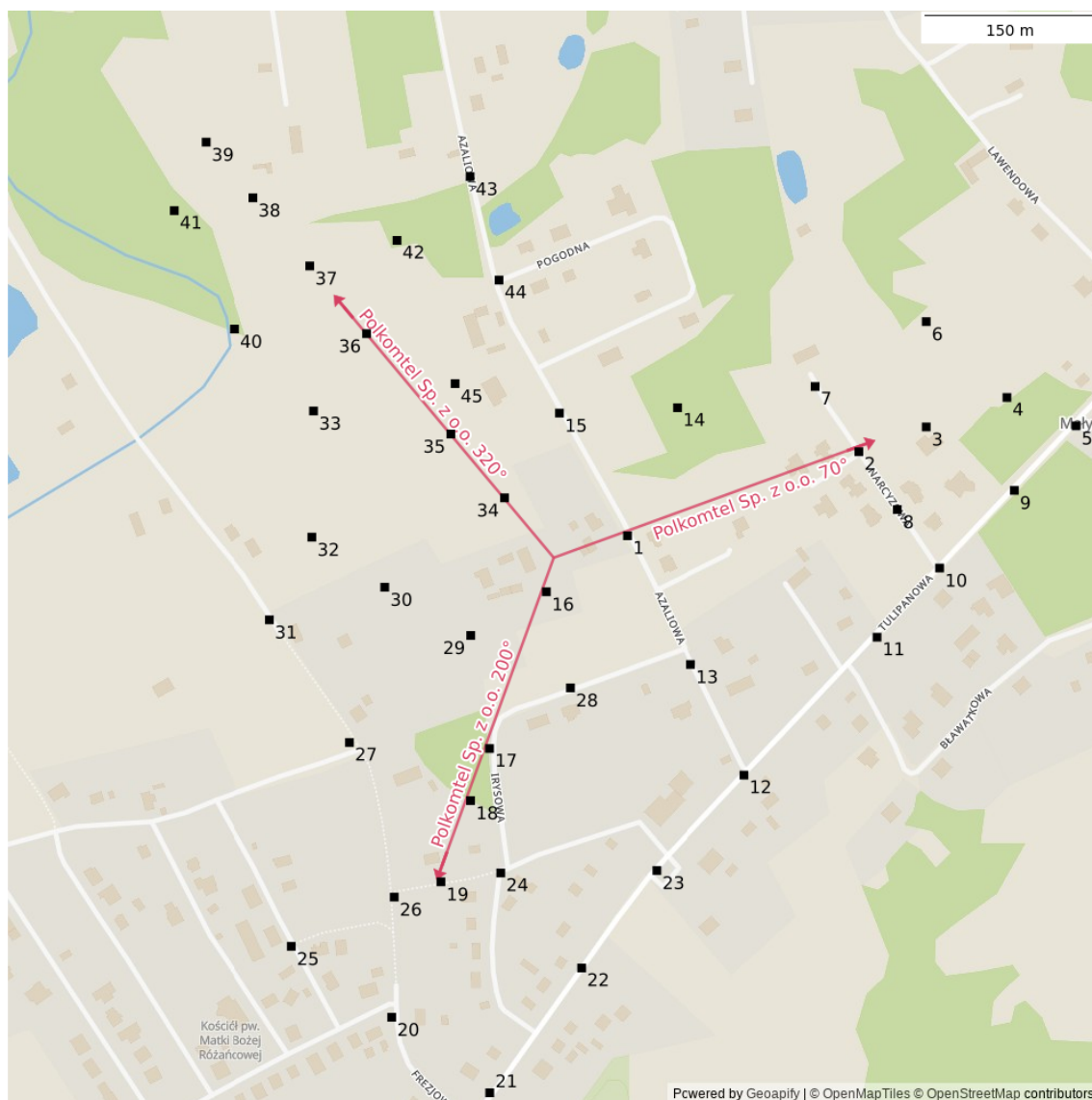
07.10.2022 10:00-12:30			
Warunki środowiskowe	Temperatura [°C]	Wilgotność [%]	Opady
Minimalna	11,3	56,6	brak
Maksymalna	15,8	68,4	

## Aparatura

Tabela 2: Aparatura

MIERNIKI I SONDY					
Lp.	Typ / Nazwa	Model	Producent	Próg detekcji	Świadectwo wzorcowania
1a	miernik	EMR-300	Narda		LWiMP/W/122/21 z dn. 16.04.2021 wydane przez Laboratorium Wzorców i Metrologii Pola Elektromagnetycznego Politechnika Wrocławska
1b	sonda	11.3.	Narda	0,50	

# Lokalizacje pionów pomiarowych



Rysunek 1: Plan terenu

## Wyniki pomiarów szerokopasmowych

Tabela 3: Zestawienie lokalizacji pionów pomiarowych oraz wyników pomiarów natężenia pola elektrycznego, pomiary szerokopasmowe

Nazwa	Data	Współrzędne geograficzne	E	WM <sub>E</sub>	H	WM <sub>H</sub>
		[°]	[ $\frac{V}{m}$ ]		[ $\frac{A}{m}$ ]	
1	07.10.2022	18,6987028 53,4135750	< 0,75	< 0,027	< 0,002	< 0,027
2	07.10.2022	18,7017444 53,4142333	< 0,75	< 0,027	< 0,002	< 0,027
3	07.10.2022	18,7026306 53,4144278	1,94	0,069	0,005	0,070

Ciąg dalszy na następnej stronie

Tabela 3: Zestawienie lokalizacji pionów pomiarowych oraz wyników pomiarów natężenia pola elektrycznego, pomiary szerokopasmowe (c.d.)

Nazwa	Data	Współrzędne geograficzne	E	WM <sub>E</sub>	H	WM <sub>H</sub>
		[°]	[ $\frac{V}{m}$ ]		[ $\frac{A}{m}$ ]	
4	07.10.2022	18,7036917 53,4146583	< 0,75	< 0,027	< 0,002	< 0,027
5	07.10.2022	18,7046000 53,4144361	< 0,75	< 0,027	< 0,002	< 0,027
6	07.10.2022	18,7026306 53,4152528	< 0,75	< 0,027	< 0,002	< 0,027
7	07.10.2022	18,7011694 53,4147444	< 0,75	< 0,027	< 0,002	< 0,027
8	07.10.2022	18,7022500 53,4137806	< 0,75	< 0,027	< 0,002	< 0,027
9	07.10.2022	18,7037889 53,4139306	1,50	0,054	0,004	0,055
10	07.10.2022	18,7028056 53,4133222	< 0,75	< 0,027	< 0,002	< 0,027
11	07.10.2022	18,7019833 53,4127806	1,65	0,059	0,004	0,060
12	07.10.2022	18,7002333 53,4117000	< 0,75	< 0,027	< 0,002	< 0,027
13	07.10.2022	18,6995306 53,4125667	< 0,75	< 0,027	< 0,002	< 0,027
14	07.10.2022	18,6993611 53,4145778	< 0,75	< 0,027	< 0,002	< 0,027
15	07.10.2022	18,6978083 53,4145361	< 0,75	< 0,027	< 0,002	< 0,027
16	07.10.2022	18,6976361 53,4131361	1,80	0,064	0,005	0,065
17	07.10.2022	18,6968889 53,4119083	< 0,75	< 0,027	< 0,002	< 0,027
18	07.10.2022	18,6966389 53,4115000	< 0,75	< 0,027	< 0,002	< 0,027
19	07.10.2022	18,6962500 53,4108639	< 0,75	< 0,027	< 0,002	< 0,027
20	07.10.2022	18,6956028 53,4098028	< 0,75	< 0,027	< 0,002	< 0,027
21	07.10.2022	18,6968917 53,4092111	< 0,75	< 0,027	< 0,002	< 0,027
22	07.10.2022	18,6981000 53,4101889	< 0,75	< 0,027	< 0,002	< 0,027
23	07.10.2022	18,6990889 53,4109528	< 0,75	< 0,027	< 0,002	< 0,027
24	07.10.2022	18,6970361 53,4109333	< 0,75	< 0,027	< 0,002	< 0,027

Ciąg dalszy na następnej stronie

Tabela 3: Zestawienie lokalizacji pionów pomiarowych oraz wyników pomiarów natężenia pola elektrycznego, pomiary szerokopasmowe (c.d.)

Nazwa	Data	Współrzędne geograficzne	E	WM <sub>E</sub>	H	WM <sub>H</sub>
		[°]	[ $\frac{V}{m}$ ]		[ $\frac{A}{m}$ ]	
25	07.10.2022	18,6942833 53,4103583	< 0,75	< 0,027	< 0,002	< 0,027
26	07.10.2022	18,6956361 53,4107444	< 0,75	< 0,027	< 0,002	< 0,027
27	07.10.2022	18,6950472 53,4119556	< 0,75	< 0,027	< 0,002	< 0,027
28	07.10.2022	18,6979528 53,4123833	< 0,75	< 0,027	< 0,002	< 0,027
29	07.10.2022	18,6966417 53,4127944	< 0,75	< 0,027	< 0,002	< 0,027
30	07.10.2022	18,6955111 53,4131722	< 0,75	< 0,027	< 0,002	< 0,027
31	07.10.2022	18,6939944 53,4129167	< 0,75	< 0,027	< 0,002	< 0,027
32	07.10.2022	18,6945528 53,4135639	< 0,75	< 0,027	< 0,002	< 0,027
33	07.10.2022	18,6945750 53,4145528	< 0,75	< 0,027	< 0,002	< 0,027
34	07.10.2022	18,6970861 53,4138722	< 0,75	< 0,027	< 0,002	< 0,027
35	07.10.2022	18,6963806 53,4143722	< 0,75	< 0,027	< 0,002	< 0,027
36	07.10.2022	18,6952722 53,4151583	< 0,75	< 0,027	< 0,002	< 0,027
37	07.10.2022	18,6945250 53,4156889	1,80	0,064	0,005	0,065
38	07.10.2022	18,6937778 53,4162222	< 0,75	< 0,027	< 0,002	< 0,027
39	07.10.2022	18,6931639 53,4166583	< 0,75	< 0,027	< 0,002	< 0,027
40	07.10.2022	18,6935361 53,4151944	< 0,75	< 0,027	< 0,002	< 0,027
41	07.10.2022	18,6927444 53,4161222	< 0,75	< 0,027	< 0,002	< 0,027
42	07.10.2022	18,6956722 53,4158889	< 0,75	< 0,027	< 0,002	< 0,027
43	07.10.2022	18,6966333 53,4163889	< 0,75	< 0,027	< 0,002	< 0,027
44	07.10.2022	18,6970139 53,4155778	< 0,75	< 0,027	< 0,002	< 0,027
45	07.10.2022	18,6964361 53,4147667	< 0,75	< 0,027	< 0,002	< 0,027

## Podsumowanie

Na podstawie wyników pomiarów pola elektromagnetycznego przedstawionych w niniejszym raporcie o nr 01/10/OŚ/2022 opracowanym przez Duarte Sp. z o.o. stwierdza się, że w otoczeniu stacji bazowej BT41088 dopuszczalne poziomy pól elektromagnetycznych w środowisku, określone w przepisach wydanych na podstawie art. 122 ust. 1 ustawy z dnia 27 kwietnia 2001 r. – Prawo ochrony środowiska uznaje się za **dotrzymane**. Udokumentowano, że w żadnym pionie pomiarowym wartości wskaźnikowe  $WM_E$  oraz  $WM_H$  nie przekroczyły 1.

## Osoby odpowiedzialne

Wykonanie pomiarów: b.d.

Opracowanie sprawozdania: b.d.

Autoryzacja sprawozdania: Edward Szczepaniuk (Kierownik laboratorium)